



Dynamique et modélisation de la turbulence

4. Turbulence homogène et isotrope

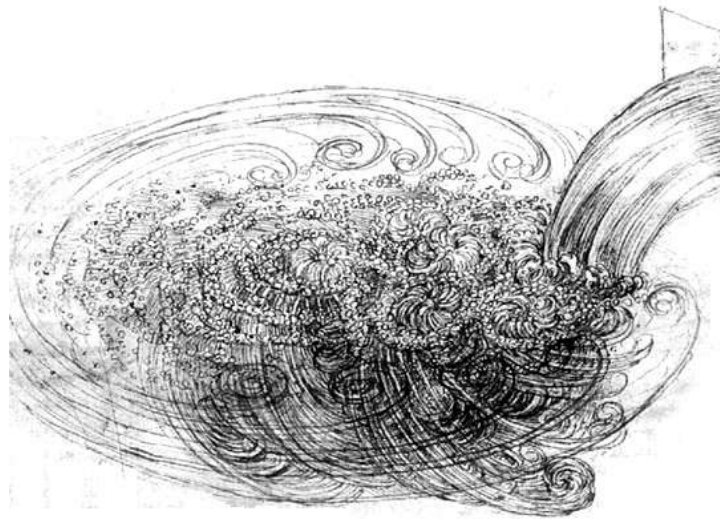
Paola CINNELLA

paola.cinnella@sorbonne-universite.fr

Les échelles de la turbulence

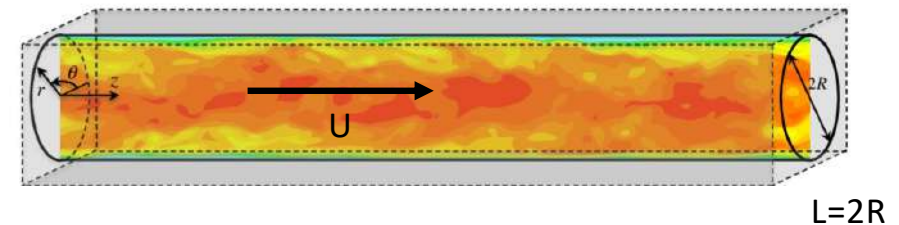
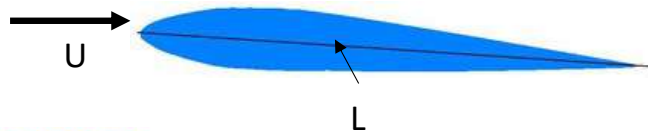
Introduction

- Dans les cours précédents nous avons vu que l'énergie cinétique turbulente :
 - Est injectée aux grandes échelles
 - Est transférée à des échelles de plus en plus petites quasiment sans perte via le mécanisme (non visqueux) d'étirement des tourbillons
 - Est dissipée aux plus petites échelles, ou **échelles de Kolmogorov**, par la viscosité du fluide
- Reste à
 - Donner une estimation plus quantitative des échelles turbulentes en fonction des paramètres caractéristiques de l'écoulement
 - Caractériser les taux de transfert



Objectifs de ce cours

- Dans ce cours nous allons examiner de près deux notions récurrentes dans la théorie de la turbulence
 - La cascade d'énergie (rappelez-vous le poème de Richardson!)
 - Les hypothèses de Kolmogorov
 - Elles permettent de préciser et quantifier le processus
- Hypothèses de travail :
 - Nous considérons un écoulement
 - Pleinement turbulent
 - Caractérisé par un nombre de Reynolds élevé, basé sur une échelle de vitesse macroscopique U et de longueur L :
$$Re = \frac{UL}{\nu} \gg 1$$
 - Bibliographie : Bailly, Pope, Tennekes&Lumley



Cascade turbulente (encore!)

- A la base de l'idée de cascade turbulente il y a l'idée de « structures » (eddies) de tailles différentes
 - Une structure est une région de fluide qui se comporte de façon « cohérente »
 - Les structures de taille l ont
 - une vitesse caractéristique $u(l)$, à peu près similaire sur toute la région considérée
 - Un temps caractéristique (temps de vie) $\tau(l) = l/u(l)$
 - Les plus grandes échelles turbulentes ont
 - une taille $l_0 \sim L$
 - Vitesse caractéristique $u_0 = u_0(l) \sim u' := \left(\frac{2}{3}k\right)^{\frac{1}{2}} \sim U \rightarrow Re_0 = \frac{u_0 l_0}{\nu} \gg 0$
 $k = \frac{1}{2} \langle u_i u_i \rangle = \frac{1}{2} (\overline{u'^2} + \overline{v'^2} + \overline{w'^2})$
 - Le nombre de Reynolds associé à ces grandes échelles est appelé le **Reynolds de turbulence**
 - La viscosité n'agissant que sur les plus petites échelles de la cascade, on s'attend à ce que le **taux de dissipation** turbulent, ϵ soit fixé en fonction du taux auquel l'énergie est injectée dans les plus grandes échelles (**taux de production**)
 - Taux de transfert de l'énergie : $\mathcal{T} \sim \frac{u_0^2}{\tau_0} \sim \frac{u_0^3}{l_0} \rightarrow \epsilon \sim \frac{u_0^3}{l_0}$ indépendamment du Reynolds (pourvu que $Re \gg 1$)

Echelle intégrale

- La taille caractéristique des plus grandes échelles est appelée échelle intégrale
- Compte-tenu des estimations précédentes

$$u_0 \sim k^{\frac{1}{2}}, \quad \epsilon \sim \frac{u_0^3}{l_0}$$

Nous déduisons que $l_0 \sim \frac{k^{\frac{3}{2}}}{\epsilon}$

- Par conséquent, le Reynolds de turbulence peut être estimé à partir de la relation suivante :

$$\text{Re}_0 \text{ ou } \text{Re}_L = \frac{k^{\frac{1}{2}} l_0}{\nu} = \frac{k^2}{\epsilon \nu}$$

Hypothèses de Kolmogorov

- Plusieurs questions restent ouvertes
 - Quelle est la taille des petites échelles dissipatives?
 - Lorsque l diminue, comment se comportent $u(l)$ et $\tau(l)$ (diminuent, augmentent, restent constantes?)?
- La théorie de la turbulence établie par Kolmogorov (1941, voir Pope (2000)) apporte une réponse à ces questions
- La théorie de Kolmogorov est fondée sur trois hypothèses fondamentales (hypothèses de Kolmogorov), des arguments d'analyse dimensionnelle et des observations expérimentales
 1. **Isotropie locale des petites échelles**
 2. **Caractéristiques des échelles visqueuses**
 3. **Comportement auto-similaire des échelles intermédiaires**

← 1^e hypothèse de similitude

← 2^e hypothèse de similitude

Turbulence homogène : tenseur de corrélation

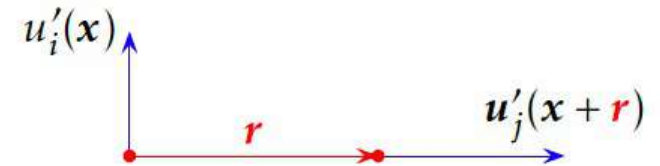
- Définition

$$R_{ij}(\mathbf{x}, \mathbf{r}, t) \equiv \overline{u'_i(\mathbf{x}, t) u'_j(\mathbf{x} + \mathbf{r}, t)} = R_{ij}(\mathbf{r}, t)$$

- R_{ij} ne dépend que de la séparation \mathbf{r} entre deux points de mesure
→ invariance sous une translation en espace du point d'observation \mathbf{x} .
- Version normalisée : coefficient de corrélation

$$-1 \leq \mathcal{R}_{ij}(\mathbf{r}) \equiv \frac{\overline{u'_i(\mathbf{x}) u'_j(\mathbf{x}')}}{\sqrt{\overline{u'^2_i(\mathbf{x})}} \sqrt{\overline{u'^2_j(\mathbf{x}')}}} \leq +1$$

- Exemple : $R_{11}(r, 0, 0) = \overline{u'^2_1} \mathcal{R}_{11}(r, 0, 0)$ (pour une séparation $\mathbf{r} = (r, 0, 0)$)



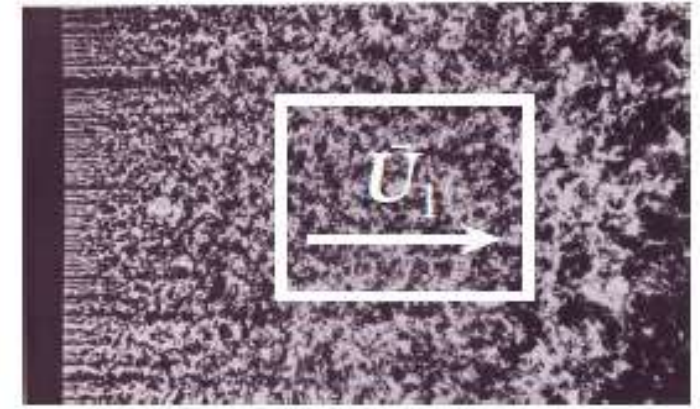
Turbulence homogène : équation de l'énergie cinétique

- Nous avons vu la dernière fois que, pour de la turbulence homogène, les dérivées spatiales des quantités fluctuantes sont nulles.

- L'équation de $\left\langle \frac{u'_i u'_i}{2} \right\rangle$ devient :

$$\frac{\partial k}{\partial t} = \underbrace{-\frac{\partial \bar{u}_i}{\partial x_j} \langle u'_i u'_j \rangle}_{\text{production}} - \underbrace{\left\langle \nu \frac{\partial u'_i}{\partial x_j} \frac{\partial u'_i}{\partial x_j} \right\rangle}_{\text{dissipation}} = \mathcal{P} - \epsilon$$

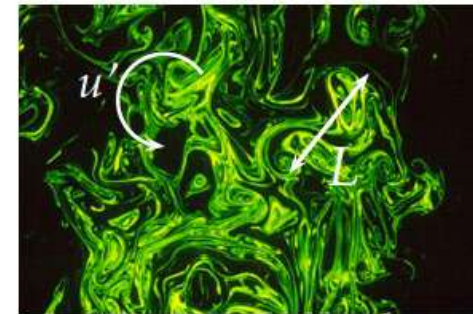
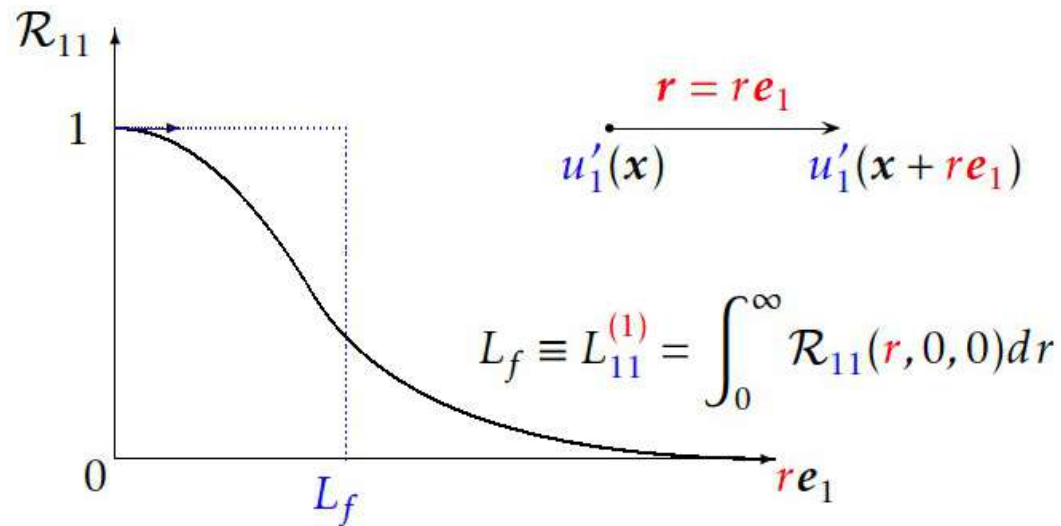
- Turbulence décroissante derrière une grille
 - On se place dans un repère se déplaçant avec l'écoulement
 - Turbulence statistiquement stationnaire, homogène dans le plan 2-3.



$$\frac{dk}{dt} = -\epsilon$$

Turbulence homogène : échelle intégrale

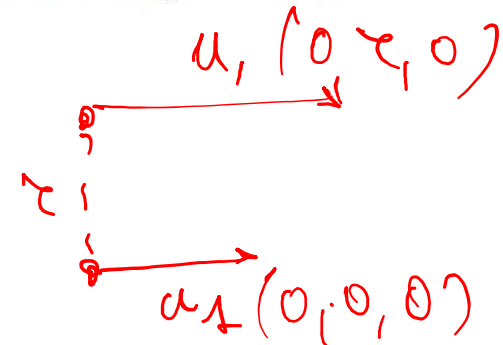
- Echelle intégrale longitudinale (voir Lect1) : estimation de la taille des structures les plus énergétiques



Tavoularis (2003), passive scalar mixing, $Sc \approx 2000$

- On peut également définir une échelle intégrale latérale

$$L_g \equiv L_{11}^{(2)} = \int_0^\infty \mathcal{R}_{11}(0, r, 0) dr$$



Turbulence homogène : micro-échelle de Taylor

- Nous avons vu auparavant l'échelle de Taylor, obtenue par développement en série du coefficient de corrélation :

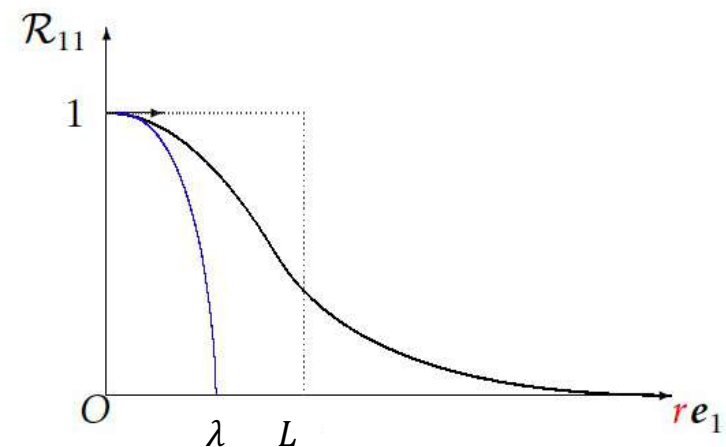
$$\mathcal{R}_{11}(r, 0, 0) = 1 - \frac{r^2}{\lambda^2} + \dots$$

- Développement en série de la vitesse fluctuante u'_1

$$u'_1(r, 0, 0) = u'_1(0, 0, 0) + r \left. \frac{\partial u'_1}{\partial x_1} \right|_{x=0} + \frac{r^2}{2} \left. \frac{\partial^2 u'_1}{\partial x_1^2} \right|_{x=0} + \dots$$

- Il en suit que :

$$\begin{aligned} \mathcal{R}_{11}(r, 0, 0) &= \overline{u'_1(0, 0, 0) u'_1(r, 0, 0)} \\ &= \overline{u'^2_1} + r \overline{u'_1 \frac{\partial u'_1}{\partial x_1}} + \frac{r^2}{2} \overline{u'_1 \frac{\partial^2 u'_1}{\partial x_1^2}} + \dots \\ &= \overline{u'^2_1} + r \frac{\partial}{\partial x_1} \left(\overline{\frac{u'^2_1}{2}} \right) + \frac{r^2}{2} \frac{\partial}{\partial x_1} \left(\overline{u'_1 \frac{\partial u'_1}{\partial x_1}} \right) - \frac{r^2}{2} \overline{\left(\frac{\partial u'_1}{\partial x_1} \right)^2} + \dots \end{aligned}$$

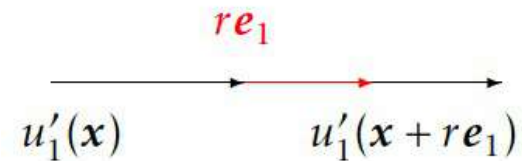


$$\mathcal{R}_{11}(r, 0, 0) = 1 - \frac{r^2}{2 \overline{u'^2_1}} \overline{\left(\frac{\partial u'_1}{\partial x_1} \right)^2} \equiv 1 - \frac{r^2}{\lambda^2} + \dots \rightarrow \lambda = \sqrt{2 \overline{u'^2_1}} / \sqrt{\overline{\left(\frac{\partial u'_1}{\partial x_1} \right)^2}}$$

Turbulence homogène : micro-échelle de Taylor

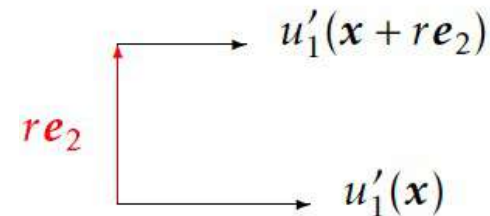
- Longitudinale :

$$\frac{1}{\lambda_f^2} \equiv -\frac{1}{2} \frac{d^2 \mathcal{R}_{11}}{dr_1^2} = \frac{1}{2 \overline{u_1'^2}} \overline{\left(\frac{\partial u_1'}{\partial x_1} \right)^2}$$



- Transversale :

$$\frac{1}{\lambda_g^2} \equiv -\frac{1}{2} \frac{d^2 \mathcal{R}_{11}}{dr_2^2} = \frac{1}{2 \overline{u_1'^2}} \overline{\left(\frac{\partial u_1'}{\partial x_2} \right)^2}$$



1^e hypothèse de similitude -1 : isotropie locale aux petites échelles

- Pour des Reynolds de turbulence suffisamment élevés, les petites échelles turbulentes ($l \ll l_0$) sont statistiquement **isotropes**
 - **Remarque** : l'information directionnelle est perdue lors du transfert dans la cascade (voir arbre de Bradshaw), ainsi que l'effet du champ moyen et des conditions aux limites
- On note l_{EI} l'échelle en dessous de laquelle la turbulence a un comportement isotrope. La gamme d'échelles $l < l_{EI}$ est appelé le **domaine d'équilibre**
 - Pour de nombreux écoulements haut Reynolds, on estime $l_{EI} < \frac{l_0}{6}$
- Dans cette gamme, les temps caractéristiques $\tau(l) = \frac{1}{u(l)} \ll \tau_0$
 - Adaptation rapide des structures aux modifications des grandes échelles anisotropes pour maintenir un équilibre dynamique entre l'énergie transférée \mathcal{T} et la dissipation ϵ .

Turbulence isotrope : propriétés

- Les statistiques de l'écoulement sont invariantes par rapport à une rotation du repère et symétriques par rapport aux plans coordonnés
 - Pas de direction privilégiée
 - Configuration la plus simple possible

Propriétés :

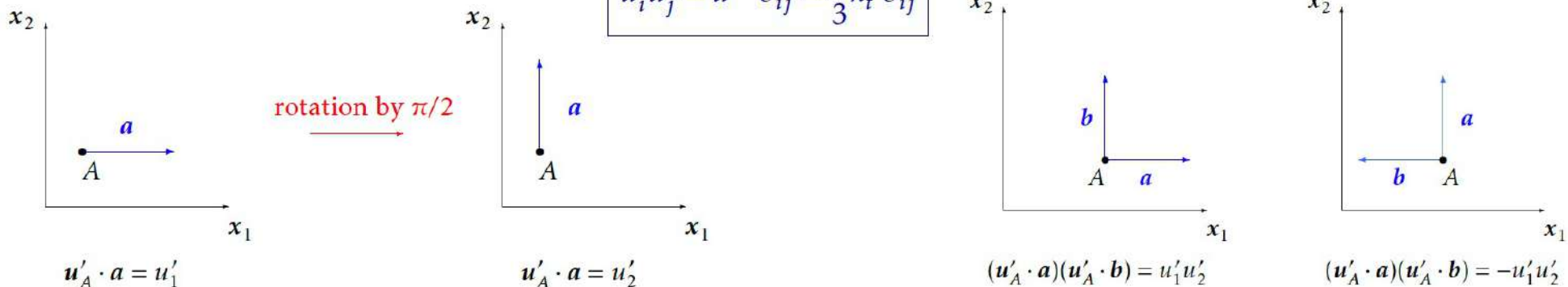
- Les corrélations normales doivent être égales pour de la turbulence isotrope (permutation des axes), donc :

$$\overline{u_1'^2} = \overline{u_2'^2} = \overline{u_3'^2} = u'^2 \quad u'^2 \equiv \overline{u'^2}$$

- Les corrélations croisées doivent être nulles $\overline{u_1' u_2'} = -\overline{u_1' u_2'}$ $\rightarrow \overline{u_1' u_2'} = 0$

\rightarrow tenseur de Reynolds diagonal :

$$\overline{u_i' u_j'} = u'^2 \delta_{ij} = \frac{2}{3} k_t \delta_{ij}$$



1^e hypothèse de similitude – 2 : échelles visqueuses

- Toujours pour des Reynolds de turbulence suffisamment élevés, les petites échelles turbulentes ($l \ll l_0$) sont
 - statistiquement **isotropes**
 - leur taille est déterminée **uniquement** par la viscosité du fluide ν et le taux de dissipation turbulente ϵ
- **Remarque** : l'information directionnelle est perdue lors du transfert dans la cascade (voir arbre de Bradshaw), ainsi que l'effet du champ moyen et des conditions aux limites
- On note l_{EI} l'échelle en dessous de laquelle la turbulence a un comportement isotrope. La gamme d'échelles $l < l_{EI}$ est appelé le **domaine d'équilibre**
 - Pour de nombreux écoulements haut Reynolds, on estime $l_{EI} < \frac{l_0}{6}$
- Dans cette gamme, les temps caractéristiques $\tau(l) = \frac{1}{u(l)} \ll \tau_0$
 - Adaptation rapide des structures aux modifications des grandes échelles anisotropes pour maintenir un équilibre dynamique entre l'énergie transférée \mathcal{T} et la dissipation ϵ .
- On utilise l'analyse dimensionnelle pour construire des échelles caractéristiques de la gamme d'équilibre :

$$\eta = \left(\frac{\nu^3}{\epsilon} \right)^{\frac{1}{4}} ; \quad u_\eta = (\epsilon \nu)^{\frac{1}{4}} ; \quad \tau_\eta = \left(\frac{\nu}{\epsilon} \right)^{\frac{1}{2}} \rightarrow Re_\eta = \frac{\eta u_\eta}{\nu} = 1 ; \quad \frac{u_\eta}{\eta} = \frac{1}{\tau_\eta}$$

→ **Echelles de Kolmogorov**

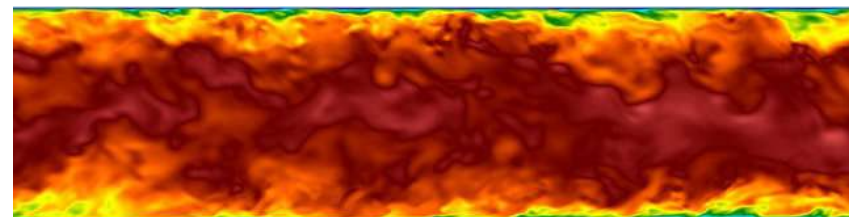
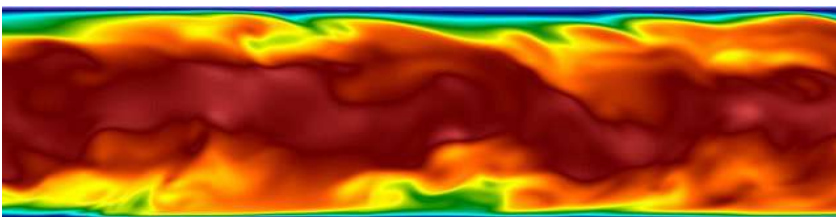
1^e et 2^e hypothèse : conséquences

- On peut maintenant estimer le rapport entre les grandes et les petites échelles en utilisant $\epsilon \sim \frac{u_0^3}{l_0}$:

$$\frac{l_0}{\eta} \sim Re^{\frac{3}{4}}; \quad \frac{u_0}{u_\eta} \sim Re^{\frac{1}{4}}; \quad \frac{\tau_0}{\tau_\eta} = Re^{\frac{1}{2}}$$

- La taille des petites échelles décroît en augmentant le nombre de Reynolds
- Il existe une **large séparation** entre l'échelle intégrale (niveau macroscopique, anisotrope, peu affectée par la viscosité) et les échelles de Kolmogorov (dominées par la vorticit )
- On postule l'existence d'une gamme
- d'échelles interm diaires, assez grandes pour  tre **peu affect e par la viscosit ** mais malgr  tout faible devant l' chelle int grale :

$$\eta \ll l \ll l_0$$



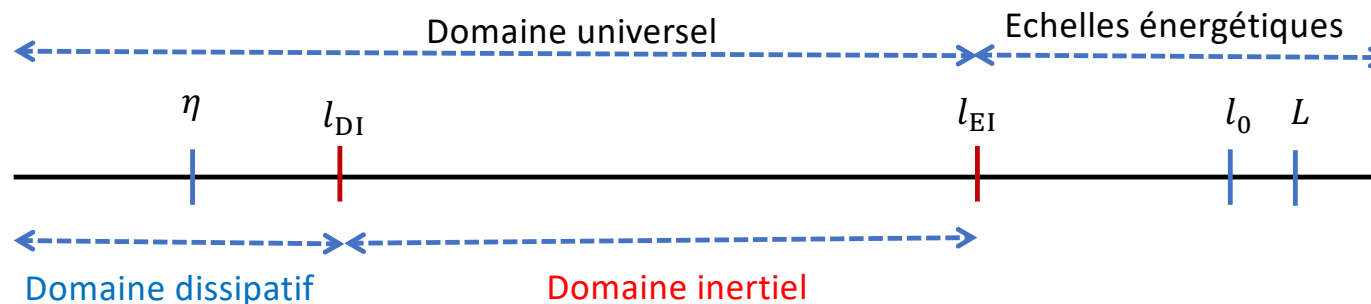
Simulation de canal plan turbulent   $Re_\tau = 180$ (gauche) et $Re_\tau = 590$ (droite)

3^e hypothèse de Kolmogorov : domaine « inertiel »

- Pour tout écoulement à nombre de Reynolds suffisamment élevé, Kolmogorov postule l'existence d'une gamme d'échelles $\eta \ll l \ll l_0$ caractérisé par un comportement universel ($l < l_{EI}$) mais déterminé uniquement par le taux de transfert $\mathcal{T} \sim \epsilon$ et **non par la viscosité**

→ **Domaine inertiel**

- On introduit une échelle correspondant à la limite inférieure de la gamme inertielle : $l_{DI} < l < l_{EI}$
- Cette échelle sépare le domaine universel en deux parties :
 - $l_{DI} < l < l_{EI}$: domaine inertiel
 - $l < l_{DI}$: domaine dissipatif
- Comme son nom l'indique, le domaine inertiel est dominé par les termes d'inertie (non linéaires) des équations de Navier-Stokes



3^e hypothèse de Kolmogorov : domaine « inertiel » (suite)

- Dans le domaine inertiel, il n'y a pas d'échelle de longueur de référence (**comportement auto-similaire**)
 - Pour une taille l donnée, on peut estimer les autres échelles caractéristiques par les relations dimensionnelles :

$$u(l) \sim (\epsilon l)^{\frac{1}{3}} \sim u_\eta \left(\frac{l}{\eta} \right)^{\frac{1}{3}} \sim u_0 \left(\frac{l}{l_0} \right)^{\frac{1}{3}}$$
$$\tau(l) \sim \left(\frac{l^2}{\epsilon} \right)^{\frac{1}{3}} \sim \tau_\eta \left(\frac{l}{\eta} \right)^{\frac{2}{3}} \sim \tau_0 \left(\frac{l}{l_0} \right)^{\frac{2}{3}}$$

- Conséquence : quand l diminue, $u(l)$ et $\tau(l)$ diminuent
- Les lois d'échelle ci-dessus nous disent également de le taux de transfert

$$\mathcal{T} \sim \epsilon, \mathcal{T}(l) \sim \frac{u(l)^3}{\tau(l)}$$

est le même pour toute la gamme d'échelles allant des échelles énergétiques à celles dissipatives

Micro-échelle de Taylor et dissipation

- Pour de la turbulence isotrope, le taux de dissipation $\epsilon = \nu \overline{\frac{\partial u'_i}{\partial x_j} \frac{\partial u'_i}{\partial x_j}}$ devient :
$$\epsilon = 15\nu \overline{\frac{\partial u'_1}{\partial x_1} \frac{\partial u'_1}{\partial x_1}}$$

- Compte-tenu de la définition de l'échelle de Taylor, nous pouvons écrire :

$$\overline{\left(\frac{\partial u'_1}{\partial x_1}\right)^2} = \frac{2\overline{u'^2_1}}{\lambda^2} \sim \frac{u'^2}{\lambda^2}$$

- Donc : $\epsilon \sim 15\nu \frac{u'^2}{\lambda^2} = 15\nu \frac{2}{3} k \frac{1}{\lambda^2} = \frac{10\nu k}{\lambda^2} \rightarrow \lambda \sim \left(\frac{10\nu k}{\epsilon}\right)^{\frac{1}{2}}$

- L'échelle de Taylor est liée aux effets de dissipation

- Elle se situe entre l'échelle énergétique l_0 et l'échelle de Kolmogorov, car :

$$\lambda / l_0 = \sqrt{10} \text{Re}_L^{-1/2}$$

$$\eta / l_0 = \text{Re}_L^{-3/4}$$

$$\lambda / \eta = \sqrt{10} \text{Re}_L^{1/4}$$

$$\lambda = \sqrt{10} \eta^{2/3} l_0^{1/3}$$

Micro-échelle de Taylor et dissipation (suite)

- Un nombre de Reynolds communément utilisé pour caractériser la turbulence homogène et isotrope est :

$$R_\lambda = u' \lambda / \nu$$

- Compte-tenu des relations précédentes, il est lié au Re_L par la relation :

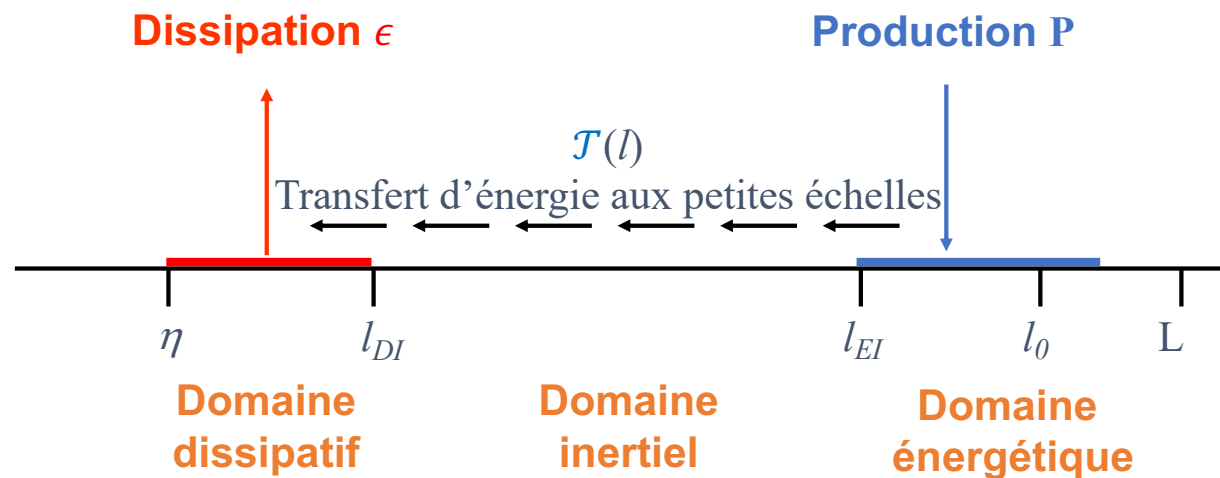
$$R_\lambda = \left(\frac{20}{3} Re_L \right)^{1/2}$$

- Enfin, la micro-échelle temporelle de Taylor est donnée par :

$$\lambda / u' = (15\nu / \varepsilon)^{1/2} = \sqrt{15} \tau_\eta$$

Taux de transfert d'énergie

- Le taux auquel l'énergie est transférée des grandes aux petites échelles est $\mathcal{T}(l)$.
- Pour des conditions d'équilibre dans le domaine inertiel $\mathcal{T}(l) = \epsilon \sim u(l)^2 / \tau$



Spectre de vitesse

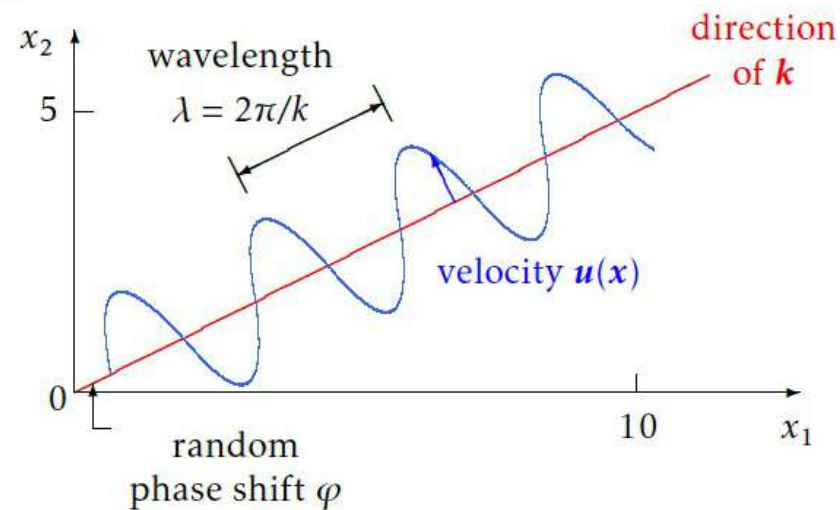
- Pour un champ de vitesse fluctuante homogène, on peut considérer la transformée de Fourier spatiale

$$\hat{u}(k) = \frac{1}{(2\pi)^3} \int_{\mathbb{R}^3} u'(x) e^{-ik \cdot x} dx \quad u'(x) = \int_{\mathbb{R}^3} \hat{u}(k) e^{ik \cdot x} dk$$

- Si de plus le champ de vitesse est incompressible :

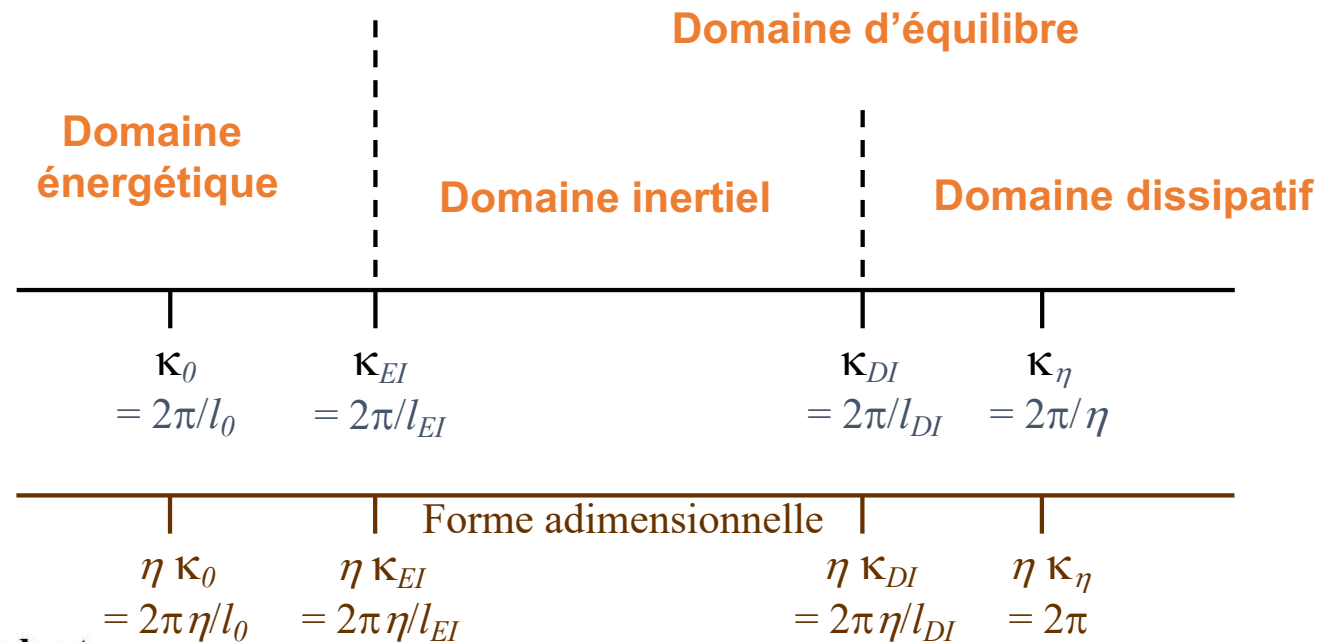
$$\nabla \cdot u' = 0 = \int ik \cdot \hat{u}(k) e^{ik \cdot x} dk \quad \forall x$$

- Donc $k \cdot \hat{u}(k) \equiv 0 \quad \forall k \rightarrow$ transformée de Fourier de la vitesse est orthogonale au vecteur d'onde k



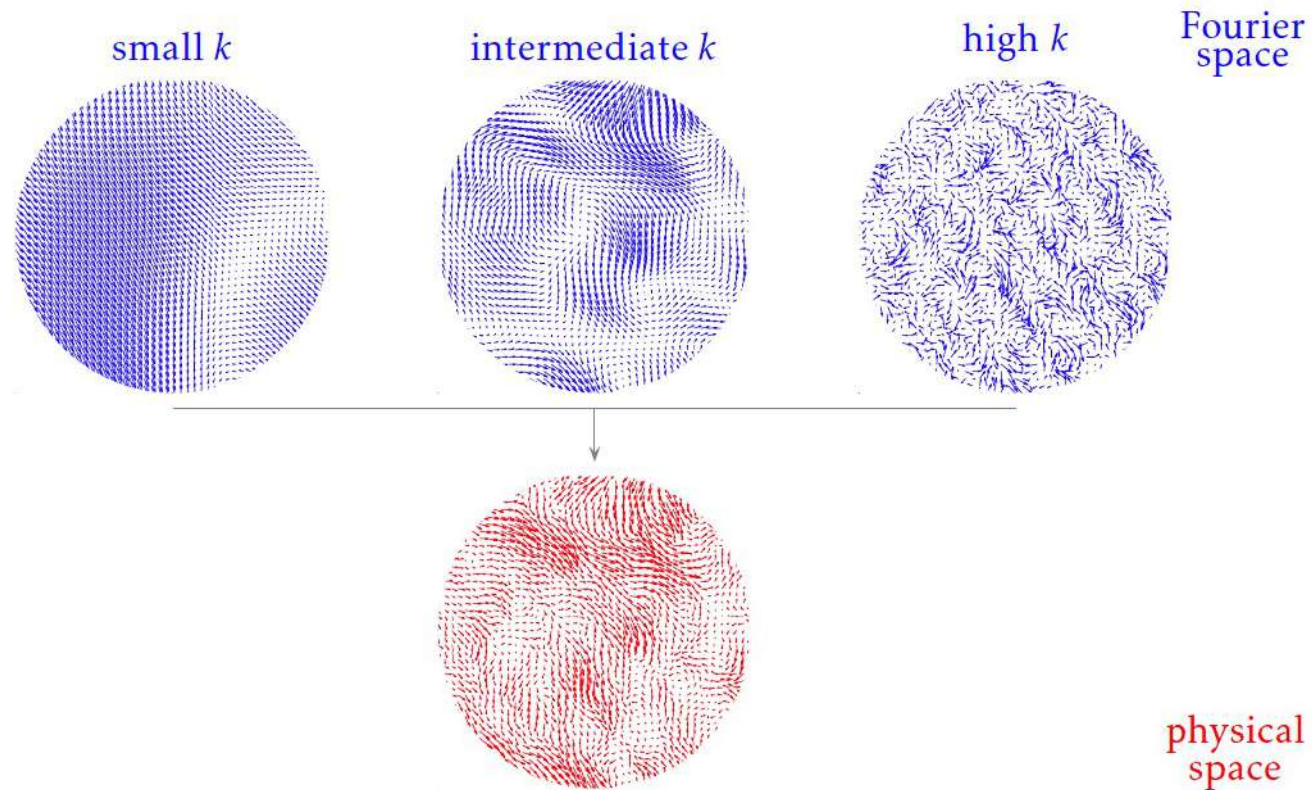
Nombres d'onde et vecteur d'onde

- Le nombre d'onde κ est défini comme $\kappa = 2\pi/l$.
- Le vecteur d'onde \mathbf{k} a pour composantes les nombres d'onde dans les trois directions
- Les différents domaines de la cascade peuvent être réécrits en fonction des nombres d'onde.
- On peut normaliser le nombre d'onde en le multipliant par l'échelle de Kolmogorov η : $(\eta \kappa)$.



Spectre de vitesse

- Espace de Fourier vs espace physique



Tenseur spectral

- Transformée de Fourier du tenseur de corrélation

$$\begin{cases} \phi_{ij}(\mathbf{k}) = \frac{1}{(2\pi)^3} \int_{\mathbb{R}^3} R_{ij}(\mathbf{r}) e^{-i\mathbf{k}\cdot\mathbf{r}} d\mathbf{r} & \text{Transformée directe} \\ R_{ij}(\mathbf{r}) = \int_{\mathbb{R}^3} \phi_{ij}(\mathbf{k}) e^{i\mathbf{k}\cdot\mathbf{r}} d\mathbf{k} & \text{Transformée inverse} \end{cases}$$

- Exemple : $i=1, j=1, \mathbf{r}=0$: $\overline{u_1^2} = \int \phi_{11}(\mathbf{k}) d\mathbf{k}$

- Propriétés :

- Deux composantes du spectre de vitesse ne sont corrélées que pour le même nombre d'onde

$$\overline{\hat{u}_i^*(\mathbf{k}) \hat{u}_j(\mathbf{k}')} = \phi_{ij}(\mathbf{k}) \delta(\mathbf{k} - \mathbf{k}')$$

- Symétrie Hermitienne $\phi_{ij}(\mathbf{k}) = \phi_{ji}(-\mathbf{k}) = \phi_{ji}^*(\mathbf{k})$ si $R_{ij}(\mathbf{r}) = R_{ji}(-\mathbf{r})$

- Condition d'incompressibilité $k_i \phi_{ij}(\mathbf{k}) = k_j \phi_{ij}(\mathbf{k}) = 0$

Tenseur spectral

- Propriétés (preuve) :

$$\begin{aligned}\overline{\hat{u}_i^*(\mathbf{k})\hat{u}_j(\mathbf{k}')}&= \frac{1}{(2\pi)^6} \iint \overline{u'_i(\mathbf{x})u'_j(\mathbf{x}') e^{i\mathbf{k}\cdot\mathbf{x}} e^{-i\mathbf{k}'\cdot\mathbf{x}'}} d\mathbf{x} d\mathbf{x}' \\ &= \frac{1}{(2\pi)^6} \iint R_{ij}(\mathbf{r}) e^{-i\mathbf{k}'\cdot\mathbf{r}} e^{i(\mathbf{k}-\mathbf{k}')\cdot\mathbf{x}} d\mathbf{x} d\mathbf{r}\end{aligned}$$

avec $\overline{u'_i(\mathbf{x})u'_j(\mathbf{x}')}=R_{ij}(\mathbf{r})$ pour de la turbulence homogène et isotrope ($\mathbf{r}=\mathbf{x}'-\mathbf{x}$)

Par ailleurs : $\frac{1}{(2\pi)^3} \int e^{i(\mathbf{k}-\mathbf{k}')\cdot\mathbf{x}} d\mathbf{x} = \delta(\mathbf{k}-\mathbf{k}')$

Et finalement $\overline{\hat{u}_i^*(\mathbf{k})\hat{u}_j(\mathbf{k}')}= \frac{1}{(2\pi)^3} \int R_{ij}(\mathbf{r}) e^{-i\mathbf{k}'\cdot\mathbf{r}} \delta(\mathbf{k}-\mathbf{k}') d\mathbf{r} = \phi_{ij}(\mathbf{k})\delta(\mathbf{k}-\mathbf{k}')$

- Incompressibilité : conséquence de $\mathbf{k} \cdot \hat{\mathbf{u}}(\mathbf{k}) \equiv 0$ et de la relation précédente

Spectre 1D

- On intègre sur tous les nombres d'onde dans deux directions et on regarde la distribution dans la troisième direction :

$$E_{ij}^{(1)}(k_1) = \iint_{\mathbb{R}^2} \phi_{ij}(\mathbf{k}) dk_2 dk_3$$

- Par exemple pour $i=j=1$ et $\mathbf{r} = 0$:

$$\overline{u_1'^2} = R_{11}(\mathbf{r} = 0) = \int_{\mathbb{R}^3} \phi_{11}(\mathbf{k}) e^{i\mathbf{k} \cdot \mathbf{r}} d\mathbf{k} = \int_{-\infty}^{+\infty} E_{11}^{(1)}(k_1) dk_1 \quad \text{Aire sous le spectre}$$

- Pour $i=j=1$ et $\mathbf{r} = (r_1, 0, 0)$:

$$R_{11}(r_1, 0, 0) = \int_{\mathbb{R}^3} \phi_{11}(\mathbf{k}) e^{i\mathbf{k} \cdot \mathbf{r}} d\mathbf{k} = \int_{-\infty}^{+\infty} E_{11}^{(1)}(k_1) e^{ik_1 r_1} dk_1 \quad \text{Transformée de Fourier inverse}$$

- Inversement :

$$E_{11}^{(1)}(k_1) = \frac{1}{2\pi} \int_{-\infty}^{+\infty} R_{11}(r_1, 0, 0) e^{-ik_1 r_1} dr_1 \quad \text{Transformée de Fourier directe}$$

- Enfin pour $k_1=0$:

$$E_{11}^{(1)}(0) = \frac{1}{2\pi} \int_{-\infty}^{+\infty} R_{11}(r_1, 0, 0) dr_1 = \frac{1}{2\pi} \overline{u_1'^2} L_f$$

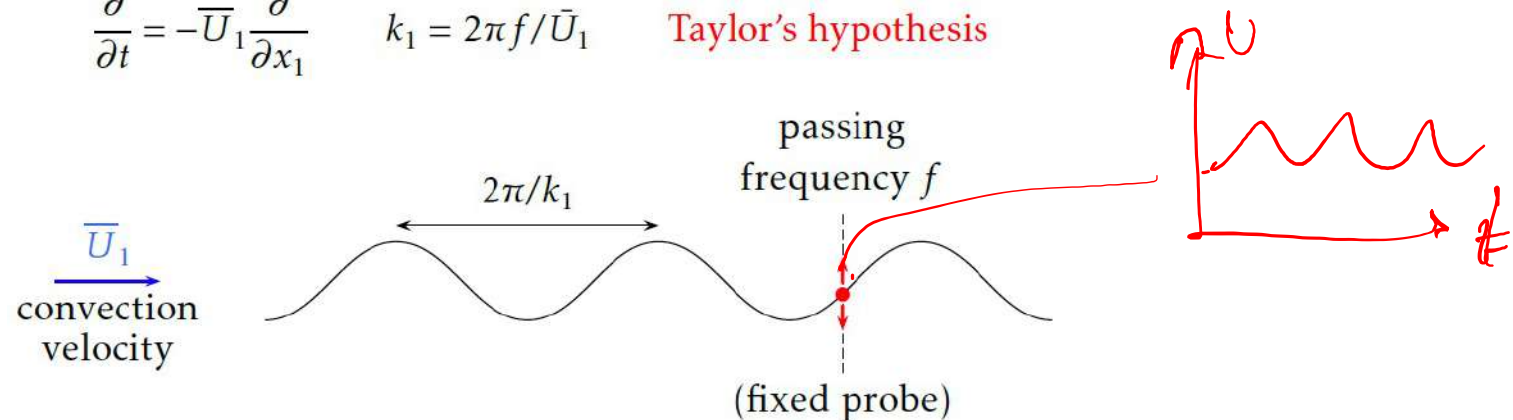
$$L_f = \pi \frac{E_{11}^{(1)}(0)}{\overline{u_1'^2}}$$

Echelle intégrale longitudinale

Turbulence « gelée » et hypothèse de Taylor

- D'un point de vue expérimental, les mesures sont des signaux temporels enregistrés à un point fixé
- Hypothèse de turbulence « gelée » et convectée par l'écoulement à la vitesse moyenne \bar{U}_1

$$\frac{\partial}{\partial t} = -\bar{U}_1 \frac{\partial}{\partial x_1} \quad k_1 = 2\pi f / \bar{U}_1 \quad \text{Taylor's hypothesis}$$



- Application : signal temporel de vitesse $u'_1(t) \rightarrow \Phi_{11}(f)$ $\overline{u_1'^2} \equiv \int_0^\infty \Phi_{11}(f) df$ Transformée inverse en temps

- En espace on a

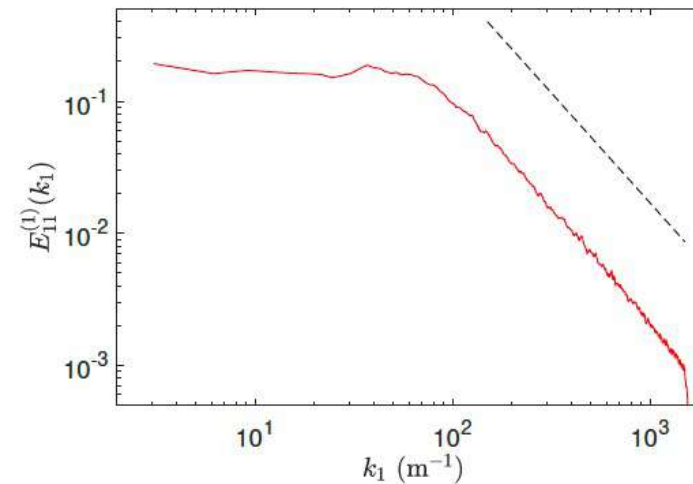
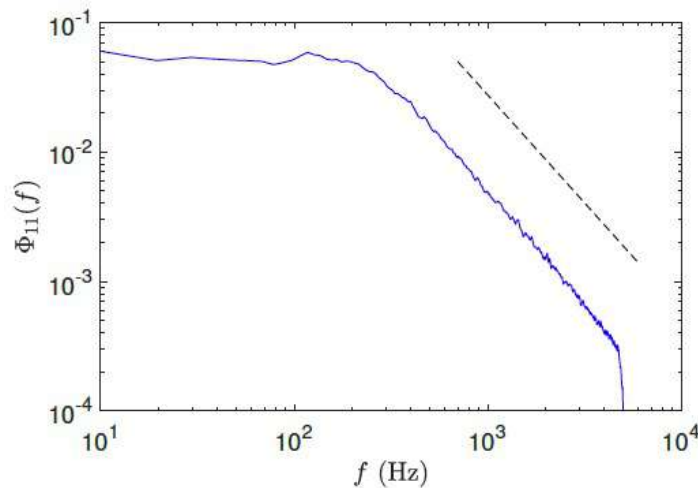
$$\overline{u_1'^2} = \int_{-\infty}^{+\infty} E_{11}^{(1)}(k_1) dk_1 \equiv \int_0^\infty \frac{\bar{U}_1}{2\pi} \Phi_{11}(f = k_1 \bar{U}_1 / 2\pi) dk_1 \longrightarrow L_{11}^{(1)} = \pi \frac{E_{11}^{(1)}(k_1 = 0)}{\overline{u_1'^2}} = \frac{1}{4} \bar{U}_1 \frac{\Phi_{11}(f = 0)}{\overline{u_1'^2}}$$

Inconnu Mesurable

Détermination de la longueur intégrale
à partir des mesures

Turbulence « gelée » et hypothèse de Taylor (cont.)

- Exemples de spectres spatial et temporel pour un écoulement de jet



Turbulence homogène isotrope

- Le tenseur spectral ne dépend que d'une seule fonction scalaire et se réduit à

$$\phi_{ij}(\mathbf{k}) = \frac{E(k)}{4\pi k^2} \left(\delta_{ij} - \frac{k_i k_j}{k^2} \right) \quad E(k) = \frac{1}{2} \int_{\Sigma_k} \phi_{ii}(\mathbf{k}) d\Sigma = 2\pi k^2 \phi_{ii}(k)$$

- L'énergie cinétique turbulente est $K \equiv \int_0^\infty E(k) dk$

- Répartition de l'énergie cinétique des fluctuations dans les différents nombres d'onde

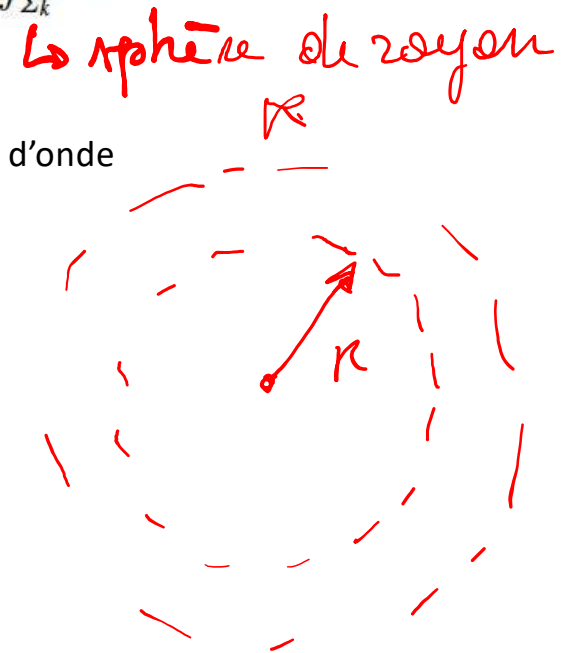
- On peut également introduire le **spectre de dissipation** :

$$\epsilon = \overline{\nu \omega'_i \omega'_i} = \nu \int_0^\infty k^2 \phi_{ii}(\mathbf{k}) dk$$

- Car $\hat{\omega}(\mathbf{k}) = i\mathbf{k} \times \hat{\mathbf{u}}(\mathbf{k})$ et

$$\frac{\overline{\omega'_i \omega'_i}}{2} = \frac{1}{2} \int_{\mathbb{R}^3} k^2 \phi_{ii}(\mathbf{k}) dk$$

- Répartition de la dissipation selon les nombres d'onde



Spectre d'énergie dans le domaine inertiel

- D'après la deuxième hypothèse de similitude de Kolmogorov, $E(\kappa)$ dépend seulement de κ et ε .
- L'analyse dimensionnelle indique que :

$$[k] = m^2 s^{-2} ; \quad [\varepsilon] = m^2 s^{-3} ; \quad [\kappa] = m^{-1} ;$$

$$[E(\kappa)] = [k]/[\kappa] = m^3 s^{-2}$$

$$\text{Dimensional analysis : } [\varepsilon^{2/3} \kappa^{-5/3}] = m^3 s^{-2}$$

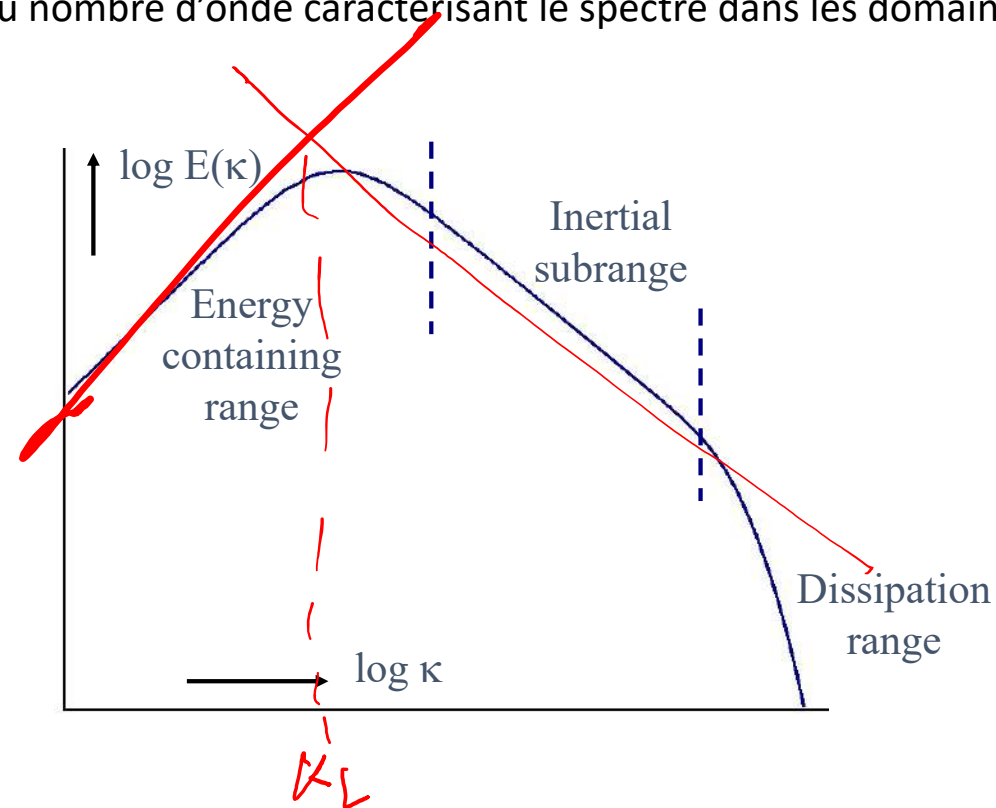
$$\Rightarrow E(\kappa) \propto \varepsilon^{2/3} \kappa^{-5/3}$$

$$\Rightarrow E(\kappa) = C \varepsilon^{2/3} \kappa^{-5/3}$$

- Cette dernière relation représente la célèbre **loi en $-5/3$ du spectre de Kolmogorov**.
- C est la constante universelle de Kolmogorov ($C = 1.5$ d'après les expériences)

Spectre complet

- Plusieurs auteurs ont développé des modèles de spectre, que nous ne discuterons pas en détail
- Le spectre complet est de la forme: $E(\kappa) = C\varepsilon^{2/3}\kappa^{-5/3}f_L f_\eta$
- Avec f_L et f_η des fonctions du nombre d'onde caractérisant le spectre dans les domaines énergétique et dissipatif, respectivement.



Spectre complet (suite)

- Le domaine énergétique est caractérisé par f_L (qui tend vers 1 pour $(\kappa l_0 \gg 1)$):

$$f_L = \left(\frac{\kappa l_0}{[(\kappa l_0)^2 + c_L]^{1/2}} \right)^{p_0 + 5/3}$$

- Le domaine dissipative est caractérisé par f_η (qui tend vers 1 lorsque $(\kappa \eta) \rightarrow 0$):

$$f_\eta = \exp\{-\beta\{[(\kappa \eta)^4 + c_\eta^4]^{1/4} - c_\eta\}\}$$

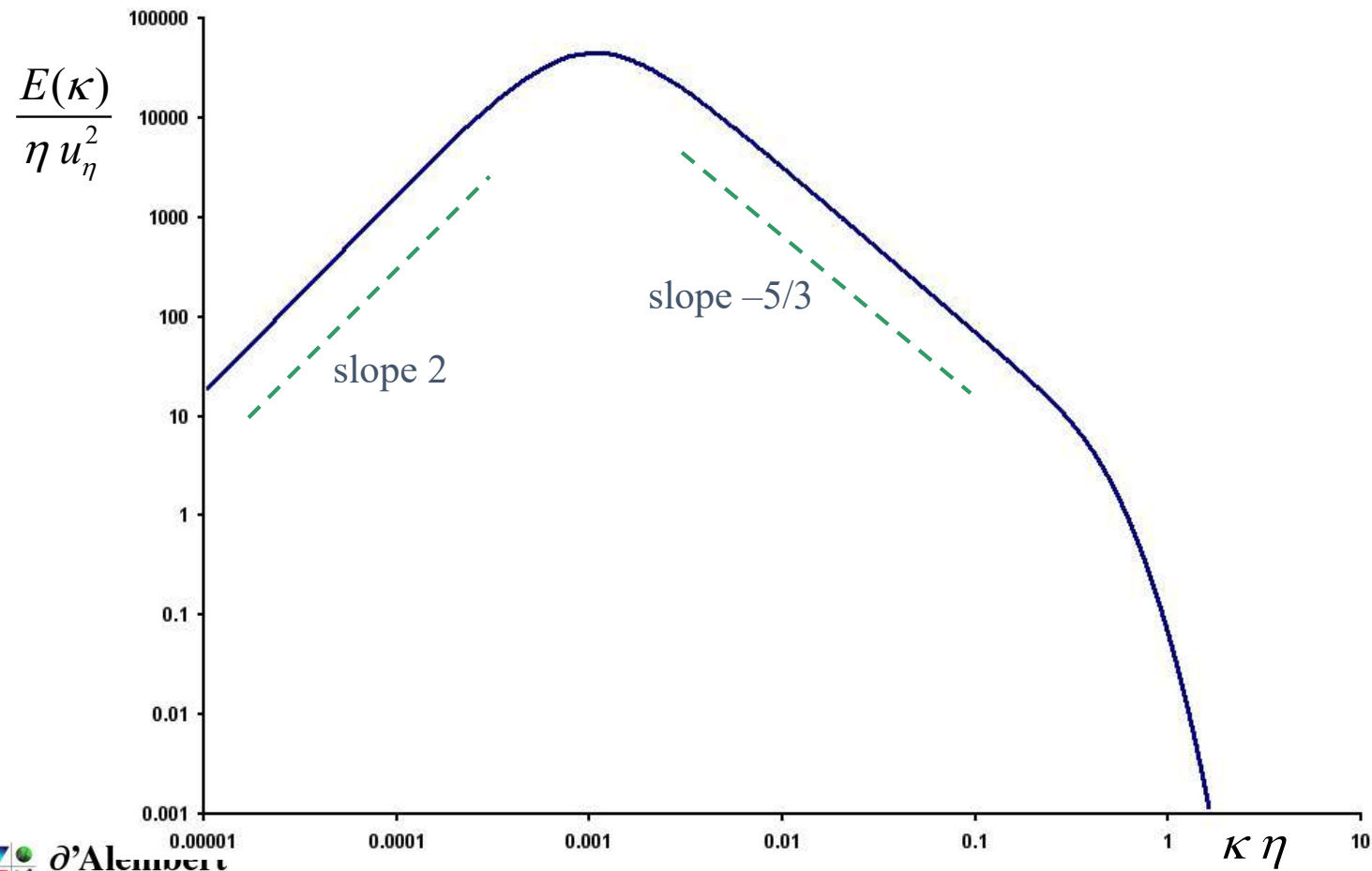
- Les constantes du modèle sont déterminées à partir des expériences, sachant que l'intégrale du spectre est égale à l'énergie cinétique turbulente.

$$c_L \approx 6.78; \quad c_\eta \approx 0.40; \quad C = 1.5; \quad p_0 = 2; \quad \beta = 5.2.$$

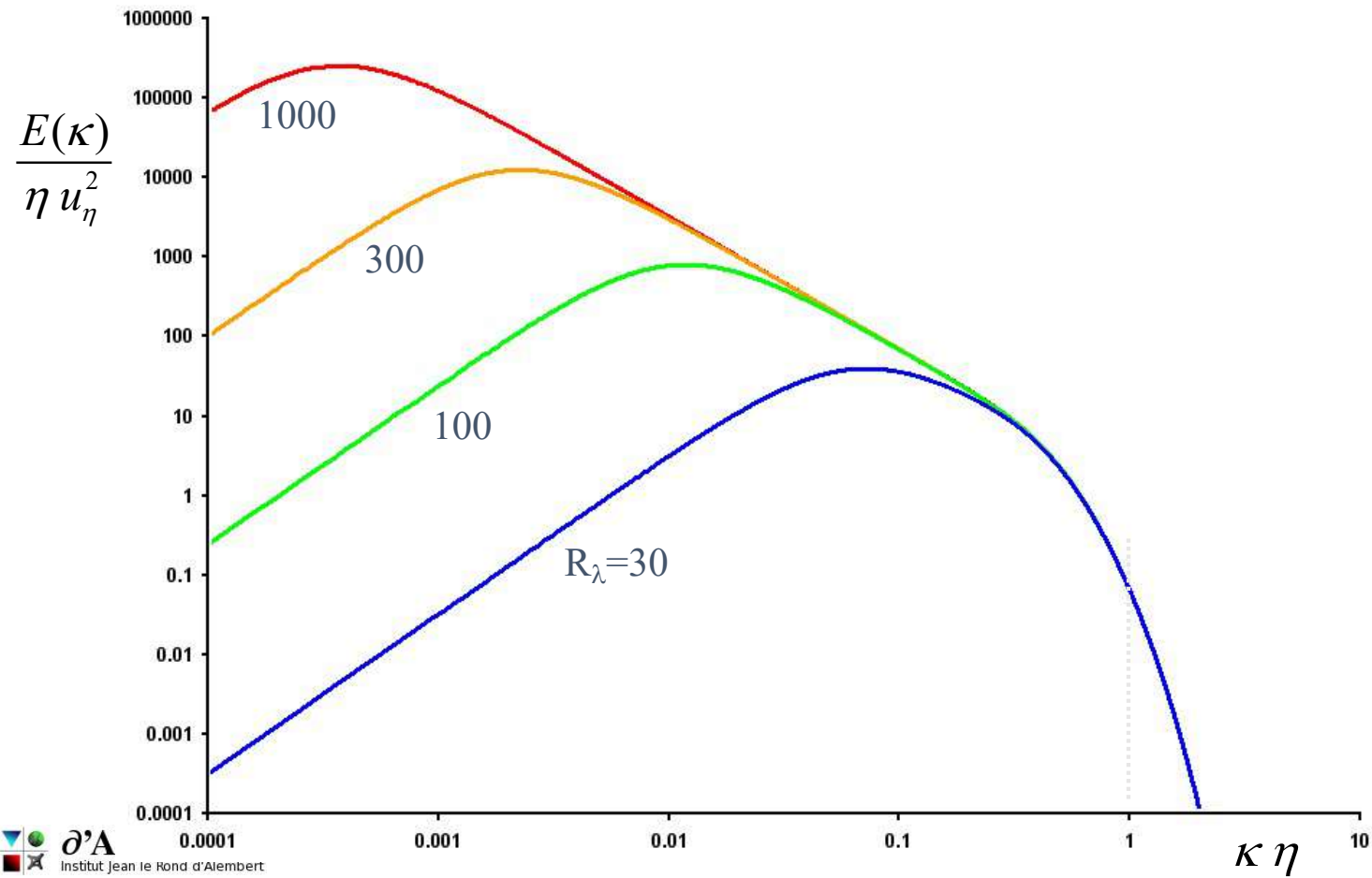
Spectre normalisé

- Pour des valeurs données de ε , ν , et κ on peut calculer le spectre avec les relations précédentes.
- Il est courant toutefois de normaliser le spectre avec l'échelle intégrale ou de Kolmogorov.
- Normalisation avec les échelles de Kolmogorov :
 - Taille des structures (η , κ).
 - Densité spectrale normalisée $E(\kappa)/(\eta u_\eta^2)$
- Normalisation avec l'échelle intégrale :
 - Taille des structures (l_0 , κ).
 - Densité spectrale normalisée $E(\kappa)/(k l_0)$
- Avantage : au lieu de trois paramètres indépendants (ε, ν, κ), le spectre normalisé ne dépend plus que du nombre de Reynolds
 - On choisit le Reynolds basé sur l'échelle de Taylor R_λ .

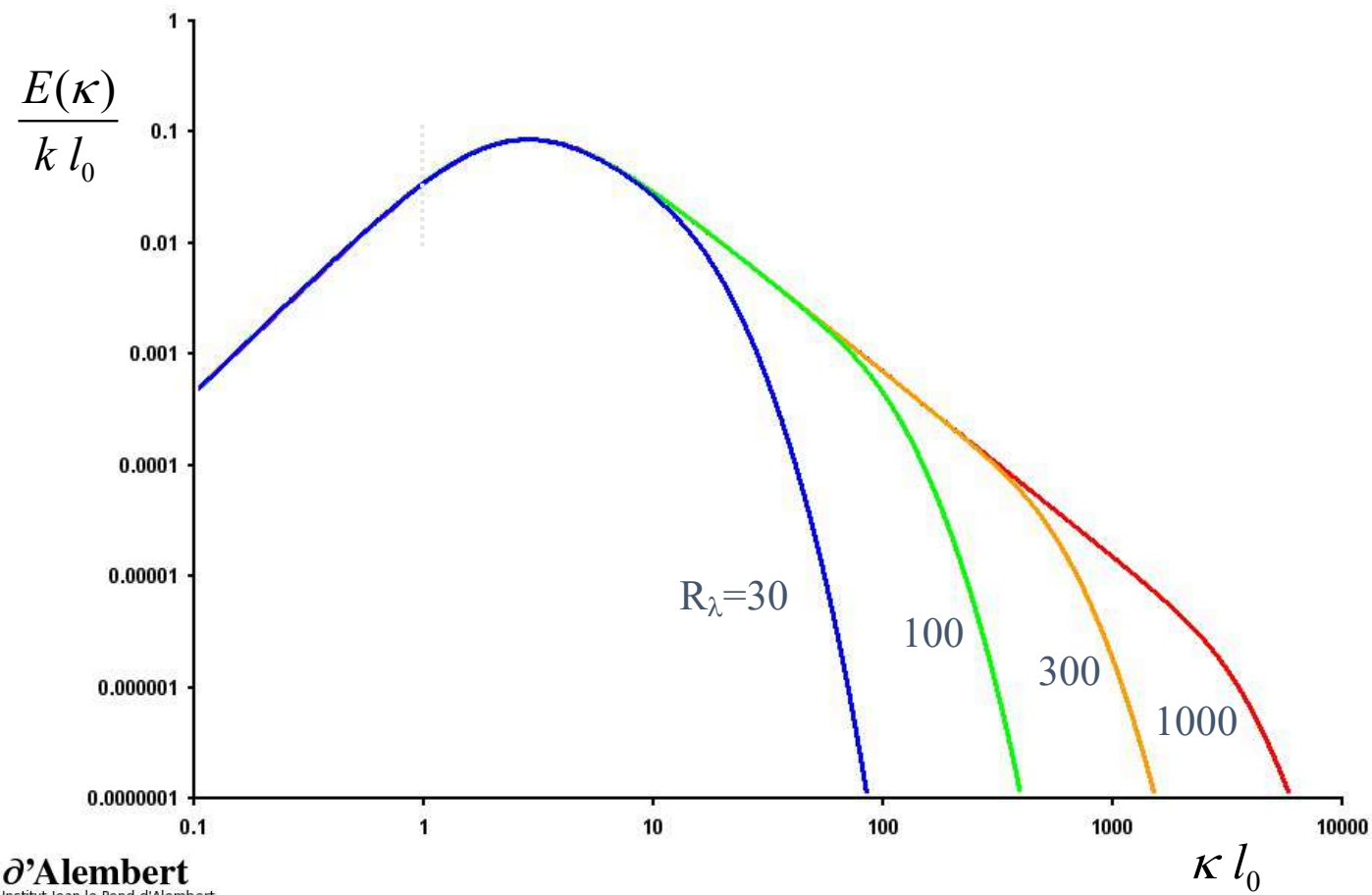
Spectre normalisé pour $R_\lambda = 500$



Variation du spectre normalisé avec R_λ

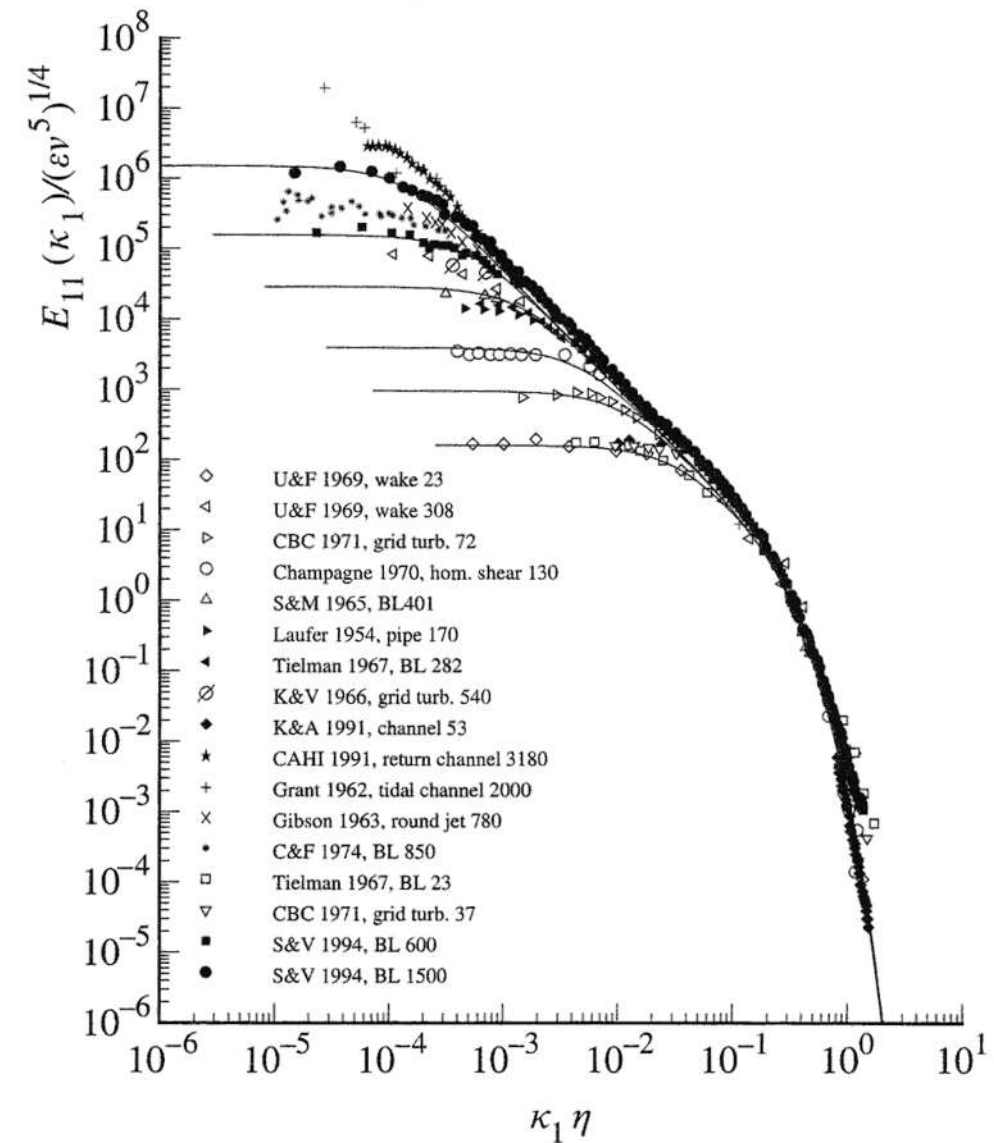


Variation du spectre normalisé avec R_λ



Mesures du spectre

- Spectres mesurés pour plusieurs configurations d'écoulement et plusieurs R_λ . Source: Pope, page 235



Domaine énergétique

- A partir de l'expression du spectre il est possible de déterminer la gamme de structures les plus énergétiques
- La conclusion est que la majeure partie de l'énergie ($\sim 80\%$) est contenue dans les échelles de taille $l_{EI} = l_0/6 < l < 6l_0$.

Spectre de dissipation

- On se pose maintenant la question de quelles sont les échelles qui dissipent le plus d'énergie
- On construit pour cela le spectre de dissipation $D(\kappa)$. L'intégrale de $D(\kappa)$ sur toutes les longueurs d'onde est par définition le taux de dissipation ε :

$$\varepsilon = \int_0^{\infty} D(\kappa) d\kappa$$

- Compte-tenu de la définition donnée précédemment, on déduit : $D(\kappa) = 2\nu \kappa^2 E(\kappa)$

- Et donc :

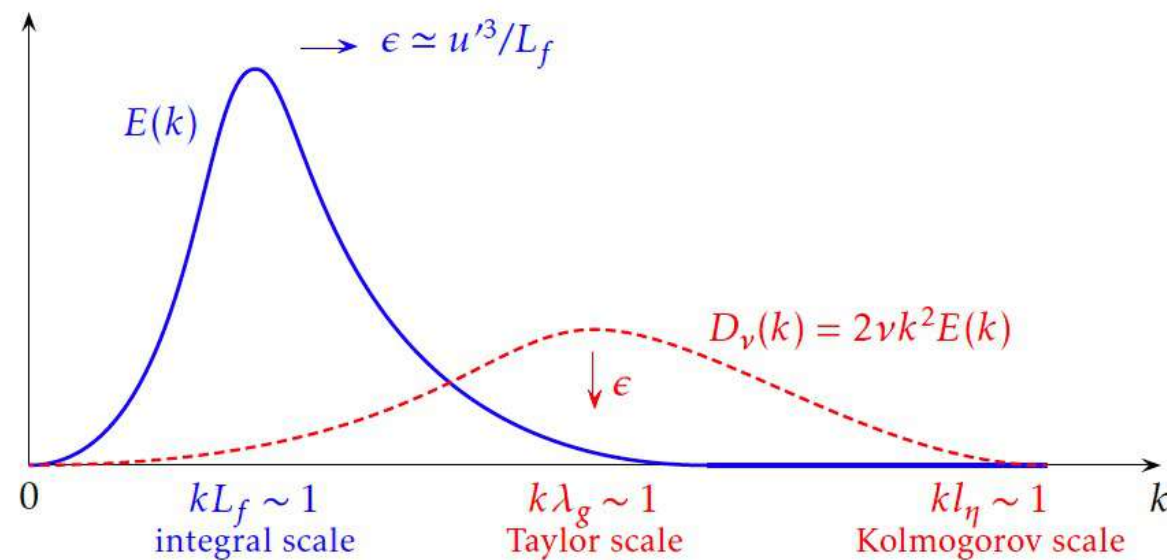
$$\varepsilon = \int_0^{\infty} D(\kappa) d\kappa = \int_0^{\infty} 2\nu \kappa^2 E(\kappa) d\kappa$$

$$\varepsilon(0, \kappa) = \int_0^{\kappa} D(\kappa) d\kappa$$

- La dernière relation représente l'énergie dissipée par les nombres d'onde compris entre 0 and κ .
- $D(\kappa)$ i(m³/s³) peut être normalisé avec une vitesse au cube, typiquement l'échelle de vitesse de Kolmogorov.
- Le spectre de dissipation normalisé ne dépend que de R_λ .

Spectre de dissipation

- La dissipation intégrée montre que la plupart de la dissipation ($\sim 90\%$) a lieu dans les structures de taille $l_{DI}/\eta = 60 > l/\eta > 8$.
- La dissipation a lieu a des échelles plus grandes que l'échelle de Kolmogorov scale η .
- L'échelle de Kolmogorov est plus une mesure des plus petites échelles de l'écoulement que des échelles dissipatives



Intermittence

- Ni K ni ε sont constants en temps ou en espace.
- K et ε peuvent varier considérablement en espace, parfois de plusieurs ordres de grandeur.
- A un point donné, ε peut changer en temps
→ intermittence

Récapitulatif – Nombres de Reynolds

- Lors de notre discussion, nous avons introduit les nombres de Reynolds suivants :

- Reynolds macroscopique: $Re = UL / \nu$
- Reynolds de turbulence: $Re_L = k^{1/2} l_0 / \nu = k^2 / \epsilon \nu$
- Reynolds de Taylor: $R_\lambda = u' \lambda / \nu$
- Reynolds de Kolmogorov : $Re_\eta = \eta u_\eta / \nu = 1$

- Entre le Reynolds macroscopique et de turbulence il peut y avoir un facteur 10

$$R_\lambda = \left(\frac{20}{3} Re_L \right)^{1/2}$$

Récapitulatif – échelles caractéristiques

- Echelle intégrale : taille des échelles énergétiques (production)

$$l_0 \propto k^{3/2} / \varepsilon$$

- Micro-échelle de Taylor : pic de dissipation

$$\lambda \approx (10\nu k / \varepsilon)^{1/2}$$

- Echelle de Kolmogorov : taille des plus petites structures

$$\eta = (\nu^3 / \varepsilon)^{1/4}$$

- Relation entre les différentes échelles :

$$\lambda / l_0 = \sqrt{10} \operatorname{Re}_L^{-1/2}$$

$$\eta / l_0 = \operatorname{Re}_L^{-3/4}$$

$$\lambda / \eta = \sqrt{10} \operatorname{Re}_L^{1/4}$$

$$\lambda = \sqrt{10} \eta^{2/3} l_0^{1/3}$$

Validité de la théorie de Kolmogorov

- Théorie « asymptotique » : valable dans la limite de $Re \gg 1$
- Pour des Reynolds intermédiaires ($O(10000)$, $Re_\lambda \sim 250$) l'exposant de $E(\kappa) \sim \kappa^{-p}$ peut être plus faible $p \sim 1.5$ au lieu de $5/3$ (~ 1.67)
- La théorie de Kolmogorov considère une cascade d'énergie uniquement des grandes vers les petites échelles
 - En pratique, des phénomènes de cascade inverse (backscatter) sont observés d'un point de vue expérimental, bien que statistiquement la cascade directe domine largement
 - Rappel : on génère des harmoniques à plus grand nombre d'onde mais aussi à plus petit nombre d'onde (coalescence de structures)
 - Les structures turbulentes sont vues comme complètement aléatoires : en pratique des structures dites "cohérentes" existent
- La théorie de la turbulence est encore un domaine de recherche très actif
 - Approches expérimentales supportées par des simulations numériques massives

Next time...

- TP Turbulence homogène isotrope (Aurélien BIENNER)
- Dans le prochain cours (17 novembre) on s'intéressera à la turbulence cisailée, d'abord libre, puis avec parois.
- TD turbulence de paroi.